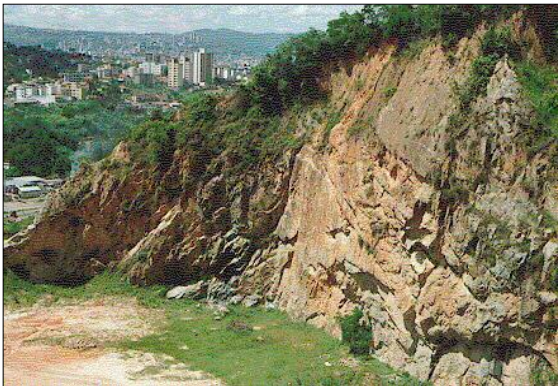
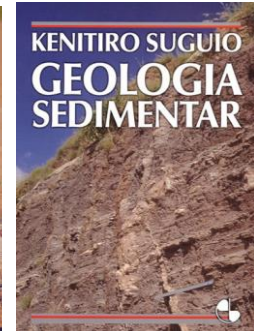
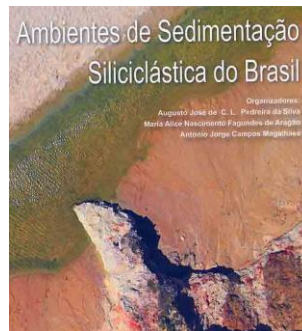
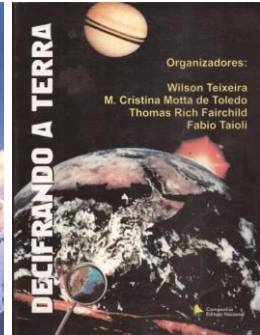
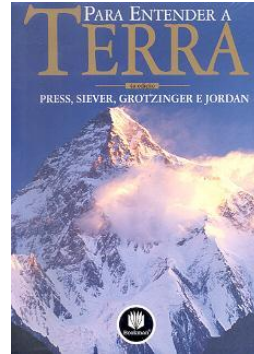


13/09 - Processos exógenos, fácies sedimentares e ambiente de sedimentação de leque aluvial.

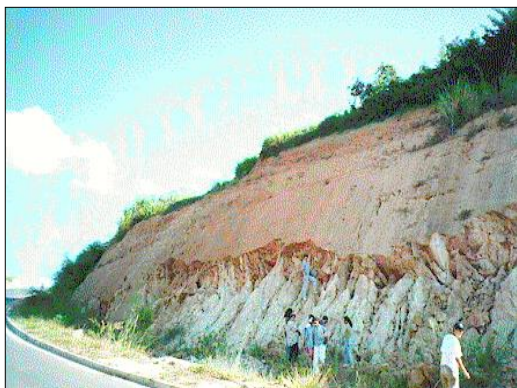
14/09 - Ambientes de sedimentação fluvial, lacustre e eólico. Exercício sobre ambientes de sedimentação.

20/09 - Ambientes de sedimentação glacial e marinho. Correção do exercício.



Pedreira do alto do Engenho Nogueira e talude de corte em loteamento do Engenho Nogueira/BH. Foto: L.M. Fantinel

Por que as rochas se alteram, ficam friáveis e se desgastam com o tempo?

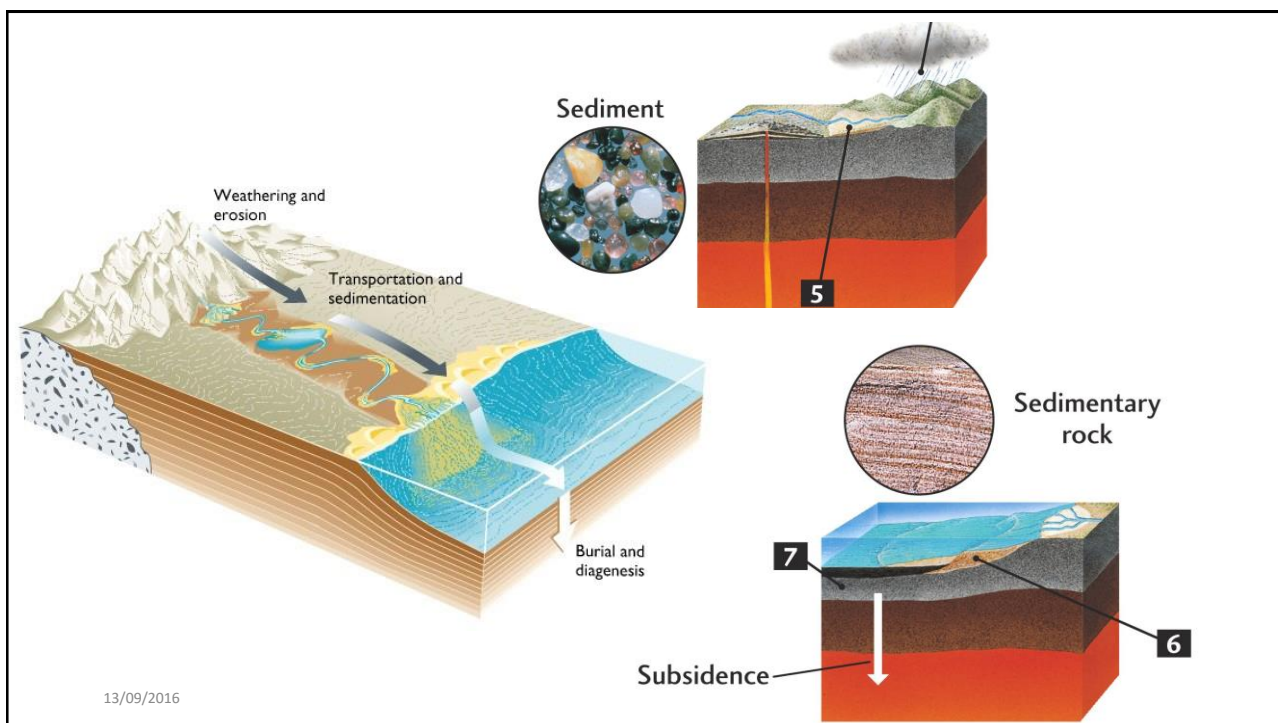


Alto do Engenho Nogueira/BH. Foto: L.M. Fantinel.



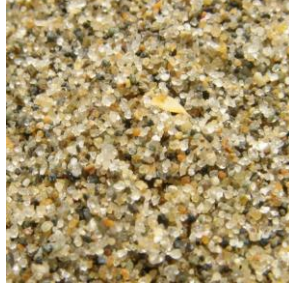
Foz dos rios Ressaca e Sarandi na Lagoa da Pampulha/BH. Foto: L.M. Fantinel.

O que acontece com os produtos do intemperismo? Como os sedimentos se transformam em rochas?



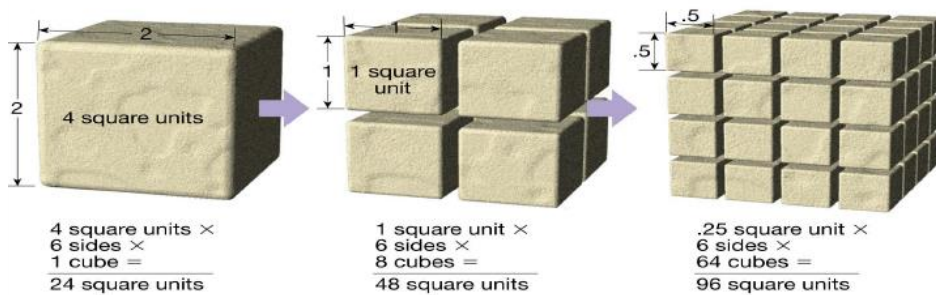
- **Intemperismo** – desagregação + alteração *in situ* de rochas expostas ou próximas da superfície. Pode ser físico, químico e biológico.
- **Erosão** – remoção dos produtos do intemperismo por ação da gravidade ou de fluxos diversos.
- **Transporte** – deslocamento dos grãos e solutos até a bacia de sedimentação. Pode ser por fluxos gravitacionais de sedimentos, gelo, água ou vento.
- **Sedimentação** – acumulação de sedimentos por deposição e/ou precipitação.
- **Diagênese** – transformação de sedimentos em rochas sedimentares.





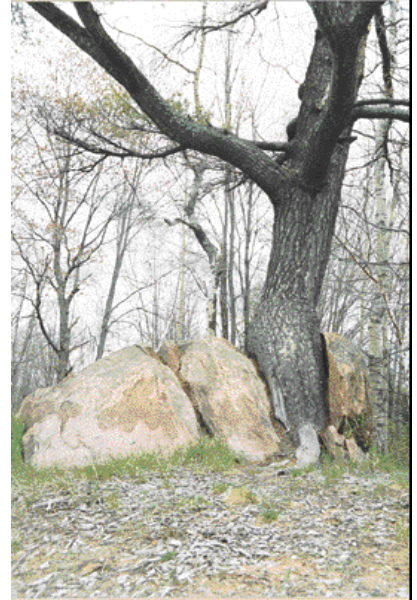
Tipos de intemperismo

- **Físico ou mecânico:** produz a quebra da rocha e aumenta a área disponível para o ataque químico.



Intemperismo físico

- Acunhamento por gelo (crioclastia):
 - Expansão da água (9%) ao congelar.
 - Climas temperados e regiões montanhosas frias.
- Expansão térmica:
 - Minerais expandem e contraem por variações de temperatura ambiente ou por hidratação.
- Alívio de pressão confinante:
 - Juntas de alívio devido ao soerguimento e erosão de rochas formadas em profundidade.
- Cristalização de sais (haloclastia).
- Pressão de raízes.



Intemperismo biológico

- Intemperismo causado diretamente por organismos.
- Atua em conjunto com os outros tipos pela ação de plantas, líquens, fungos, bactérias e outros organismos.



Fonte: <http://www.int>



. Complexo Gouveia, Gouveia/MG. Foto: L.M. Fantinel.



. Complexo Gouveia, Gouveia/MG. Foto: L.M. Fantinel.

Tipos de intemperismo

- **Químico** – alteração e/ou dissolução de minerais da rocha.
- Água é o principal agente.

Equação genérica

Mineral I + solução de alteração → Mineral alterado + Mineral II + solução de lixiviação

Esta equação está sujeita às leis do equilíbrio químico e às oscilações das condições ambientais.

Na maior parte dos ambientes da superfície, as águas percolantes têm pH entre 5 e 9.

Principais reações:

Hidrólise

Dissolução

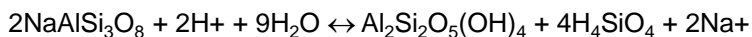
Oxidação

Hidratação

pH inferior a 5 → acidólise

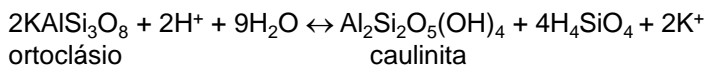
Reações do intemperismo químico

- **Hidrólise**



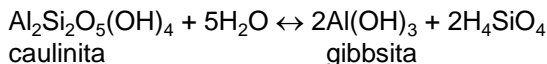
albita

caulinita



ortoclásio

caulinita



caulinita

gibbsita



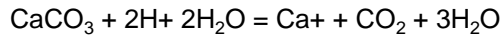
Granito de Soajo. Fonte:
http://www.dct.uminho.pt/pnpg/trilhos/trilho_mezio.html



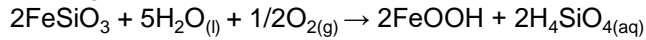
Granito de Soajo. Fonte:
http://www.dct.uminho.pt/pnpg/trilhos/trilho_mezio.html

Reações do intemperismo químico

- **Dissolução**



- **Oxidação**



Basalto, Formação Serra Geral, Santa Vitória/MG. Foto: L.M. Fantinel.



Calcário, Grupo Bambuí, São Francisco/MG. Foto: L.M. Fantinel.

- Formação de oxi-hidróxido de **Al (alitização)** e **Fe (ferrralitização)**.
- Formação de **silicato de alumínio – sialitização**.
 - **monossialitização = caulinita**
 - **bissialitização = esmectita, illita**

Intemperismo químico e pluviosidade

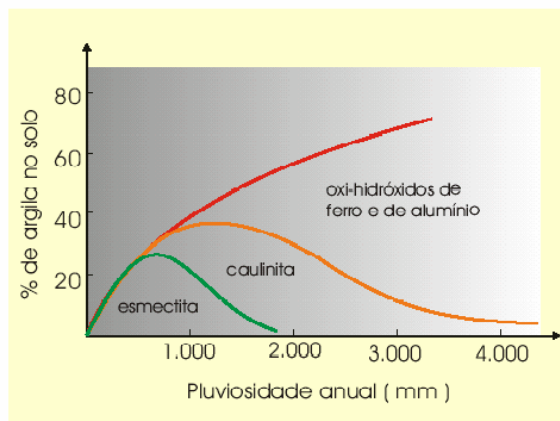
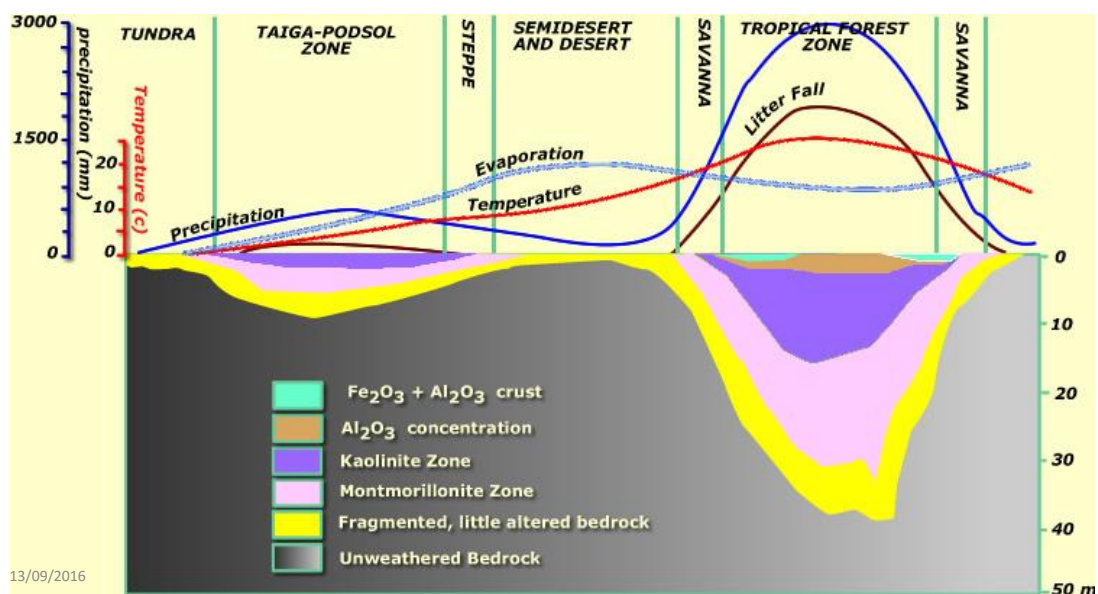


Fig. 8.18 A intensidade do intemperismo aumenta com a pluviosidade, resultando num solo com maior proporção de minerais secundários (fração argila). A cada faixa de pluviosidade corresponde uma composição preponderante dos minerais secundários.

13/09/2016

Fonte: Decifrando a Terra / TEIXEIRA, TOLEDO, FAIRCHILD e TAIOLI - São Paulo: Oficina de Textos, 2000.

Intemperismo químico e clima



13/09/2016

Intemperismo químico e relevo

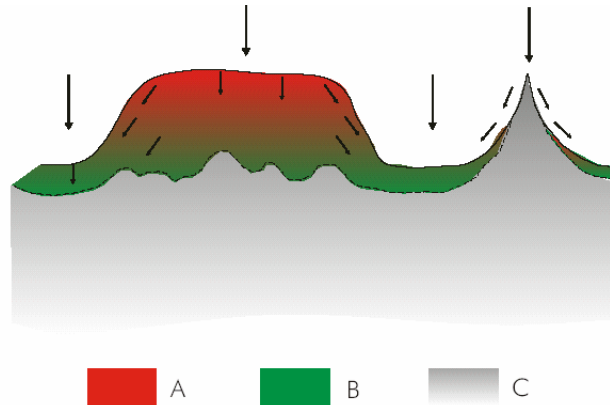


Fig. 8.21 Influência da topografia na intensidade do intemperismo.

Sector A: Boa infiltração e boa drenagem favorecem o intemperismo químico.

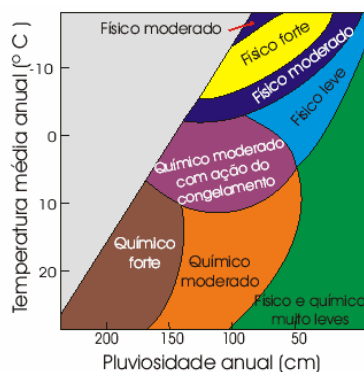
Sector B: Boa infiltração e má drenagem desfavorecem o intemperismo químico.

Sector C: Má infiltração e má drenagem desfavorecem o intemperismo químico e favorecem a erosão.

13/09/2016

Fonte: Decifrando a Terra / TEIXEIRA, TOLEDO, FAIRCHILD e TAIOLI - São Paulo: Oficina de Textos, 2000.

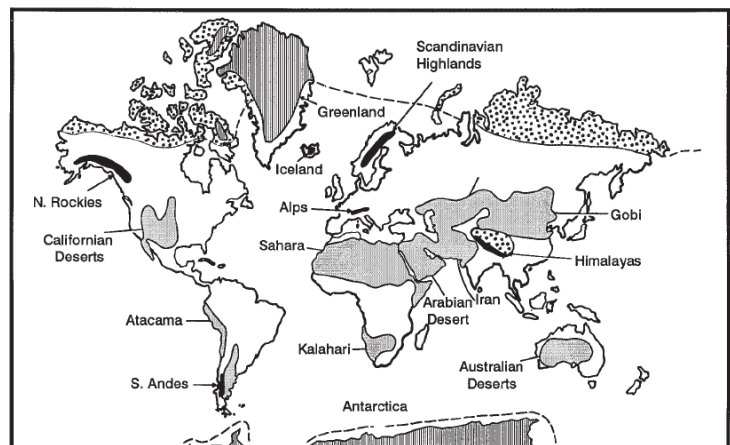
Intemperismo e clima



O papel do clima é preponderante na determinação do tipo e eficácia do intemperismo. O intemperismo físico predomina nas áreas onde temperatura e pluviosidade são baixas. Ao contrário, temperatura e pluviosidade mais altas favorecem o intemperismo químico.

Fonte: Teixeira et al. (2000)

13/09/2016



Cool and wet

Periglacial areas

Warm and wet

Humid climate

Warm and dry

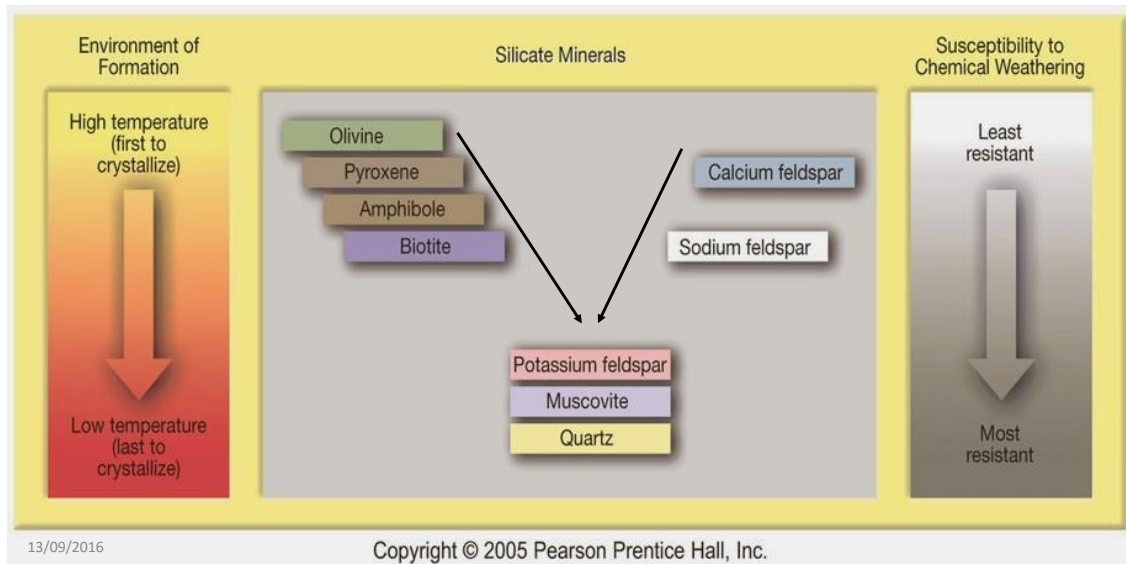
Desert and semi-desert

Ice sheets

Mountain glaciers

Fonte: Brookfield (2004)

Suscetibilidade mineral ao intemperismo químico



Intemperismo a partir de granito

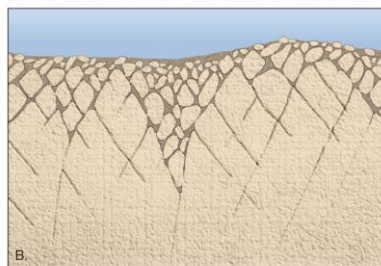
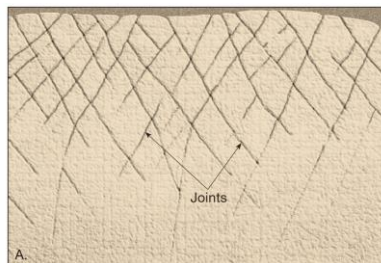


Intemperismo a partir de granito

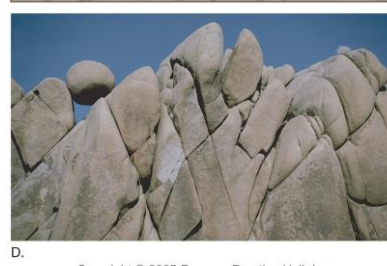
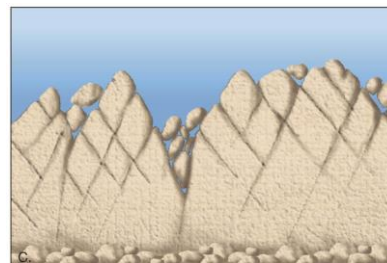


13/09/2016

Ação conjugada do intemperismo físico e químico



Copyright © 2005 Pearson Prentice Hall, Inc.



Copyright © 2005 Pearson Prentice Hall, Inc.

Água flui nas juntas - altera a rocha, minerais se alteram para argila, a rocha se expande, quinas são abrandadas, a exfoliação se destaca.

Ação conjugada do intemperismo físico e químico e da erosão



Copyright © 2005 Pearson Prentice Hall, Inc.

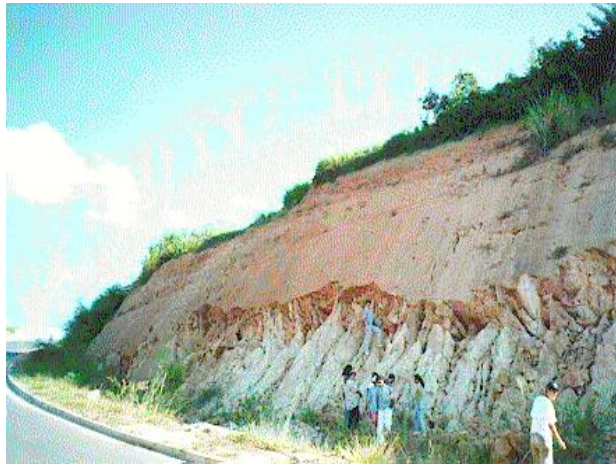


**Spheroidal weathering of a
basaltic lava flow, Oregon**

S. Kuehn

13/09/2016

Perfil do solo



Horizonte O
Horizonte A
Argiloso e orgânico

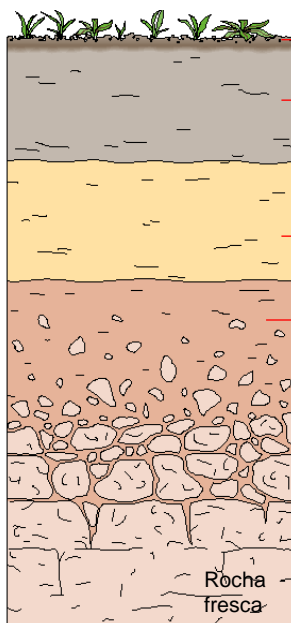
Horizonte B
Argiloso a
argilo-arenoso
Menos
erodível do
que o
horizonte C

Horizonte C
Areno-argiloso
Saprólito de
gnaisse
Muito erodível

Perfil de solo em talude de corte no loteamento no bairro Engenho Nogueira/BH. Foto: L.M. Fantinel

13/09/2016

Perfil do solo – horizontes do solo



O: predominam restos de matéria orgânica em processo de decomposição

A: acúmulo de material orgânico em estado avançado de alteração misturado com a fração mineral. Lixiviação de sais solúveis, Fe e Al, enriquecido em partículas, eluviação

B: Concentração de cátions e argilas lixiviados de "A". Não se pode reconhecer vestígios das estruturas da rocha mãe

C: Horizonte pouco atingido pelos processos pedogênicos, onde se pode encontrar muitas das características e estruturas da rocha mãe. Também conhecido como saprólito

13/09/2016

Principais produtos do intemperismo

- Solo
- Fragmentos de rochas
- Quartzo em grãos e, em menor proporção, grãos de feldspatos e micas
- Minerais novos, formados pelo intemperismo, dentre eles, minerais de argila
- Óxidos e hidróxidos de ferro e alumínio
- Íons carregados em solução pelas águas dos rios: Ca, Mg, K, Na em solução
- Dissolução dos carbonatos e outros sais solúveis
- Sílica em solução

Minerais comuns na crosta Minerais comuns nas RS

Igneas e metamórficas	
Quartzo	SiO ₂
Feldspatos	(Na,K)AlSi ₃ O ₈
Plagioclásio	(Na,Ca)(Si,Al) ₄ O ₈
Biotita	K(Mg,Fe) ₃ (AlSi ₃ O ₁₀)(OH) ₂
Muscovita	KAl ₂ (AlSi ₃ O ₁₀)(OH) ₂
Clorita	(Mg,Fe) ₃ (Si,Al) ₄ O ₁₀ (OH) ₂ ·(Mg,Fe) ₃ (OH) ₆
Granadas	[Mg, Fe, Mn, Ca] ₃ Al ₂ (SiO ₄) ₃
Anfíbolios (diversos)	(Ca,Na) ₂₋₃ (Mg,Fe,Al) ₅ Si ₆ (Al,Si) ₂ O ₂₂ (OH) ₂
Piroxênios	[Ca, Mg, Fe]Si ₂ O ₆
Olivina	[Fe, Mg] ₂ SiO ₄
Cianita	Al ₂ SiO ₅
Estaurolita	Fe ₂ Al ₉ (SiO ₄) ₄ (O,OH) ₂
Sillimanita	Al ₂ SiO ₅
Óxidos (diversos)	Fe ₂ O ₃ , Fe ₃ O ₄ (Fe ₂ +Fe ₃ +2O ₄)

Sedimentares	
Quartzo	SiO ₂
Argilominerais (diversos)	Al ₂ Si ₂ O ₅ (OH) ₄ , (Na,Ca) _{0.33} (Al,Mg) ₂ (Si ₄ O ₁₀)(OH) ₂ ·nH ₂ O
Feldspatos	(Na,K)AlSi ₃ O ₈
Calcita	CaCO ₃
Dolomita	CaMg(CO ₃) ₂ C
Gipsita	CaSO ₄ ·2H ₂ O
Halita	NaCl

Natureza do aporte sedimentar

Sedimento Terrígeno



Sedimento Químico



Sedimento Orgânico



- Rocha sedimentar terrígena ou siliciclástica
 - Rocha sedimentar química
 - Rocha sedimentar orgânico

75% da superfície terrestre está coberta por rochas sedimentares.

Agentes de transporte

• Fluidos:

– Água

- Fluxo aquoso unidirecional
- Fluxo aquoso multidirecional
 - Ondas
 - Marés
 - Correntes oceânicas

– Ar - vento

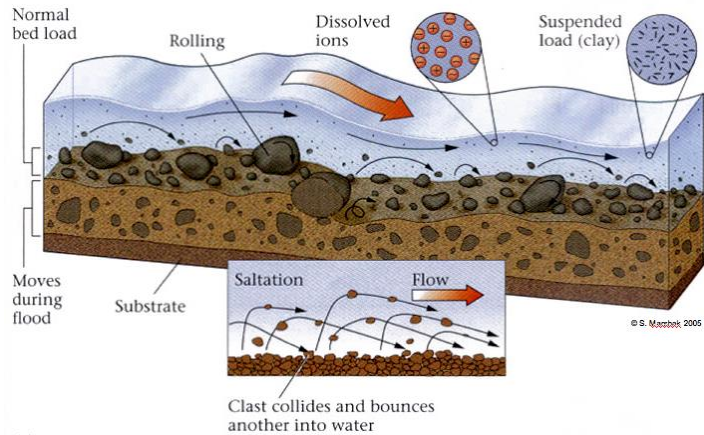
Gelo

• Fluxos gravitacionais de sedimentos:

- Correntes de turbidez
- Fluxo liquefeito
- Fluxo de grãos
- Fluxo de detritos
- Fluxo de lama

Formas de transporte

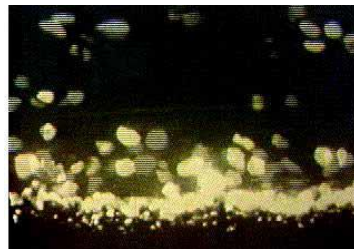
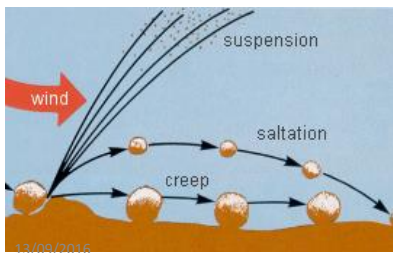
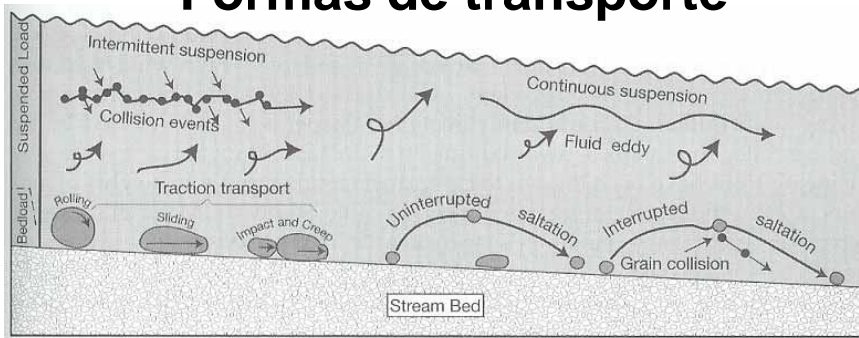
- Arraste e rolamento
- Saltação
- Suspensão
- Solução



Fonte: <http://www.geol.umd.edu/~jmerck/geol342/lectures/04.html>

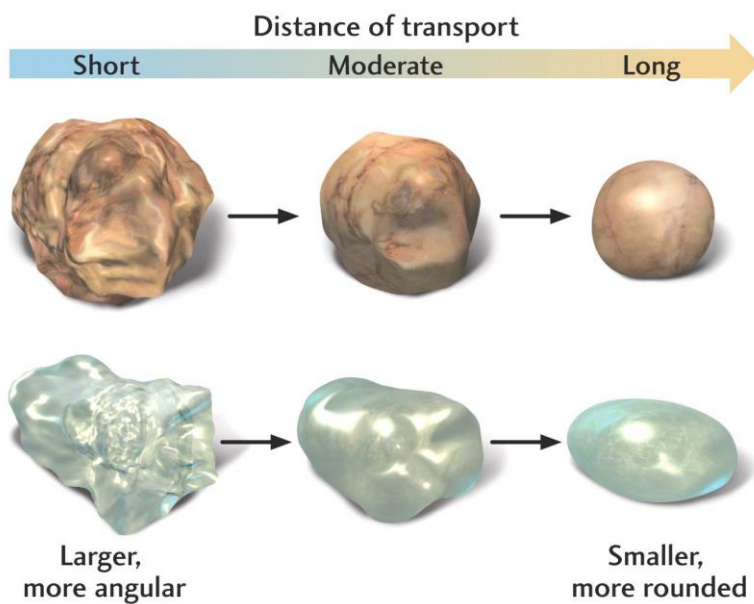
13/09/2016

Formas de transporte

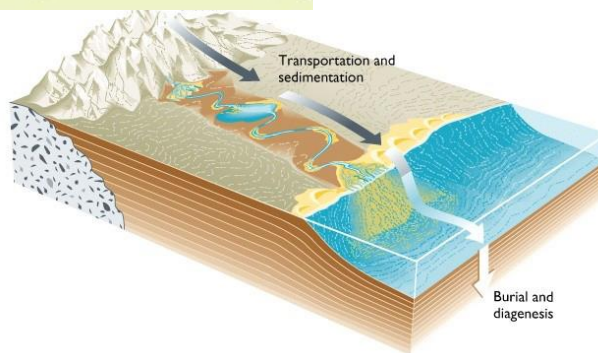


Fonte: Fonte: Univ. Illinois, Geol 440 (2011).

Grau de arredondamento



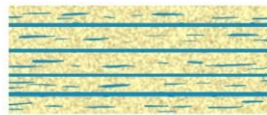
13/09/2016



13/09/2016

Diagênese

Compaction

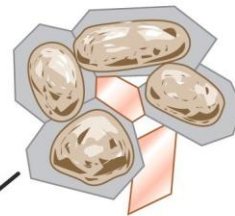


50–60% water



10–20% water

Cementation



Lithification

13/09/2016

Ambientes de sedimentação

A sedimentação pode ocorrer por:

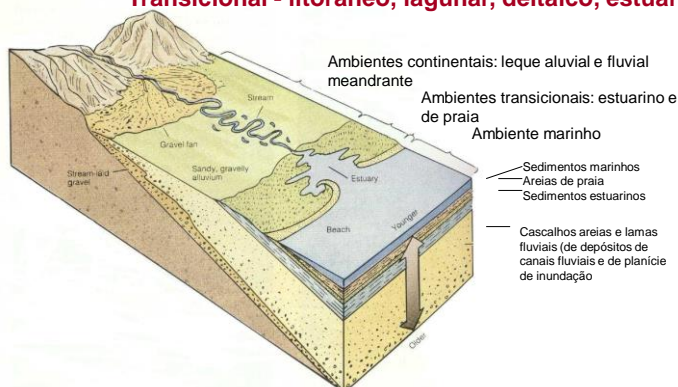
- processos físicos, como a decantação de partículas a partir de um fluido
- por processos químicos, como a precipitação de carbonatos
- por processos bioquímicos

Em ambientes:

Continental - fluvial, desértico, lacustre, glacial

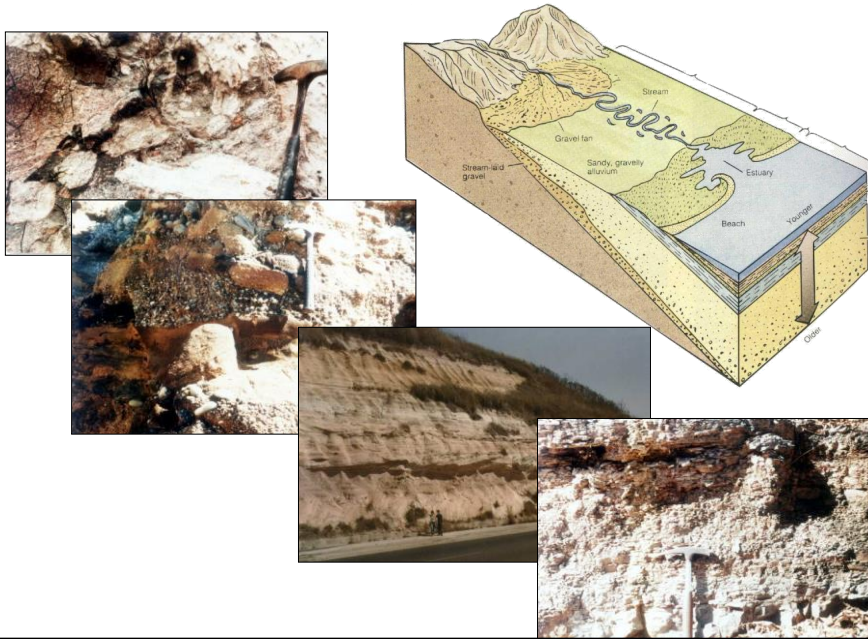
Marinho - plataforma, talude, mar profundo

Transicional - litorâneo, lagunar, deltáico, estuarino



13/09/2016

Interpretação paleoambiental



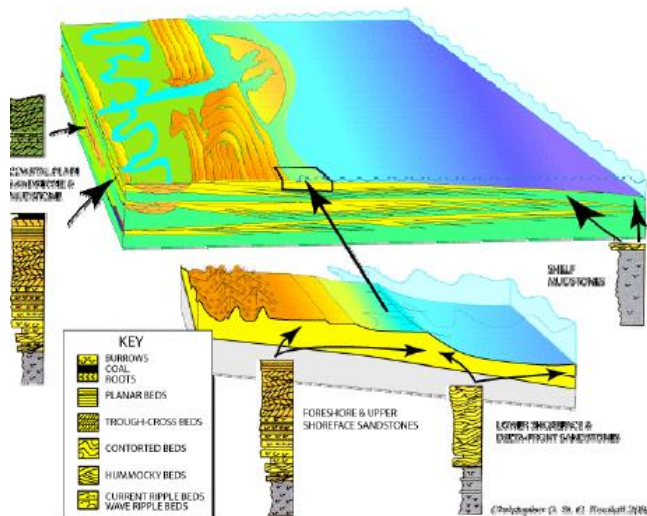
Fácies Sedimentares

- É a somatória de todas as características físicas, químicas e biológicas primárias das rochas sedimentares.
- Elementos definidores:
 - Litologia (composição, textura, cor primária, maturidade, rocha),
 - Estruturas sedimentares,
 - Direção de paleocorrentes,
 - Espessura das camadas,
 - Geometria da unidade,
 - Conteúdo fossilífero,
 - Perfil sísmico etc.

Associação de Fácies



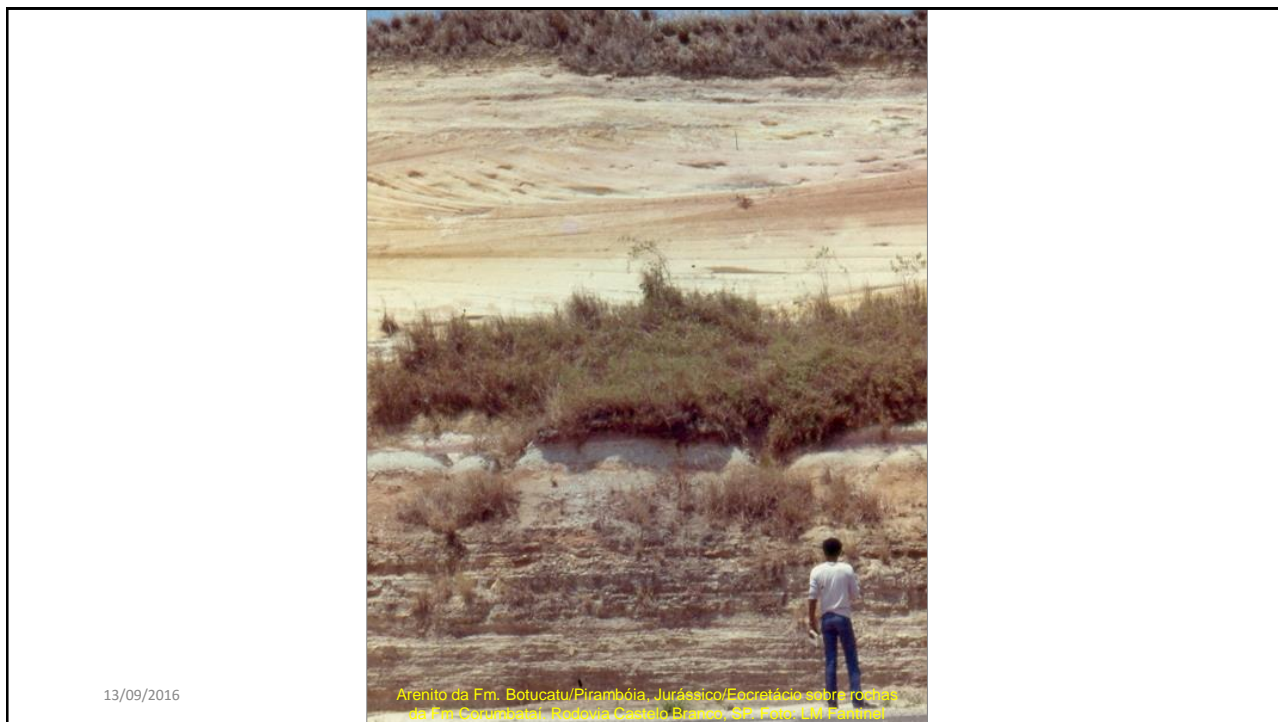
Johannes Walther (1860-1937)



“Facies adjacent to one another in a continuous vertical sequence also accumulated adjacent to one another laterally”. Fonte: Univ. Illinois, Geol 440 (2011). Lecture 10.



Arenito da Fm. Botucatu/Pirambóia, Jurássico/Eocretácio sobre rochas da Fm Corumbataí. Rodovia Castelo Branco, SP. Foto: LM Fantinel



Fácies sedimentares



Facies sedimentares



Facies arenito bem selecionado, maduro, com estratificação cruzada de grande porte Aec

Facies argilito arenoso com estratificação planar-paralela Faep

Facies argilito laminado com camadas finas de calcário, estratificação planar-paralela Fclp

Rodovia Castelo Branco, SP. Arenito da Fm. Botucatu/Pirambóia, Jurássico/Eocretácio sobre rochas da Fm. Corumbataí. Foto: LM Fantinel

13/09/2016

Dunas eólicas recentes e interpretação paleoambiental



Dunas eólicas em ambiente recente, Parque das dunas, Natal/RN. Foto: LM Fantinel



13/09/2016

Duna eólica em ambiente recente, Parque das dunas, Natal/RN. Foto: LM Fantinel



www.alexuchoa.com.br



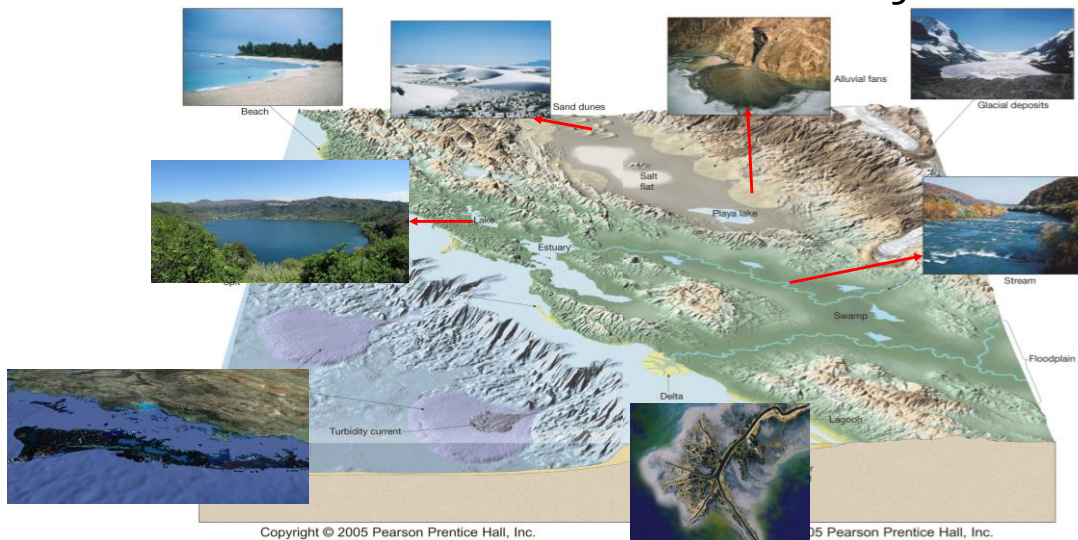
www.alexuchoa.com.br



Dunas eólicas e lagos interdunas em ambiente recente, Rio Grande do Norte.

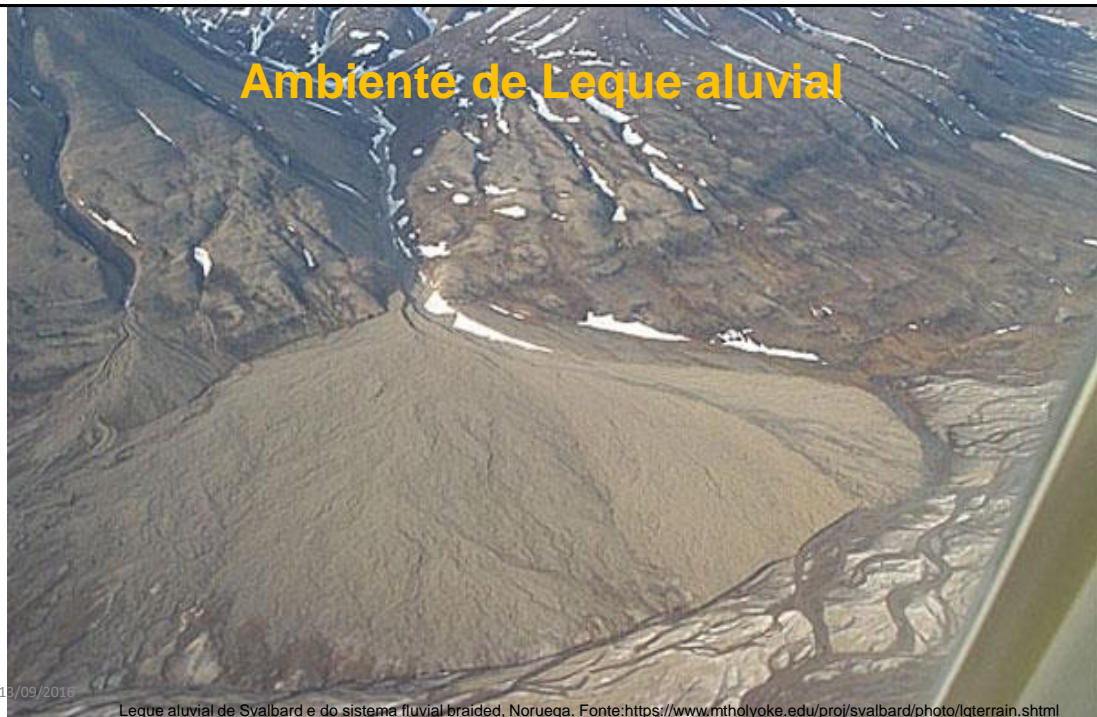
13/

Ambientes de sedimentação



13/09/2016

Ambiente de Leque aluvial



13/09/2016

Leque aluvial de Svalbard e do sistema fluvial braided, Noruega. Fonte: <https://www.mtholyoke.edu/proj/svalbard/photo/1gterrain.shtml>

Ambiente de Leque aluvial



13/09/2016

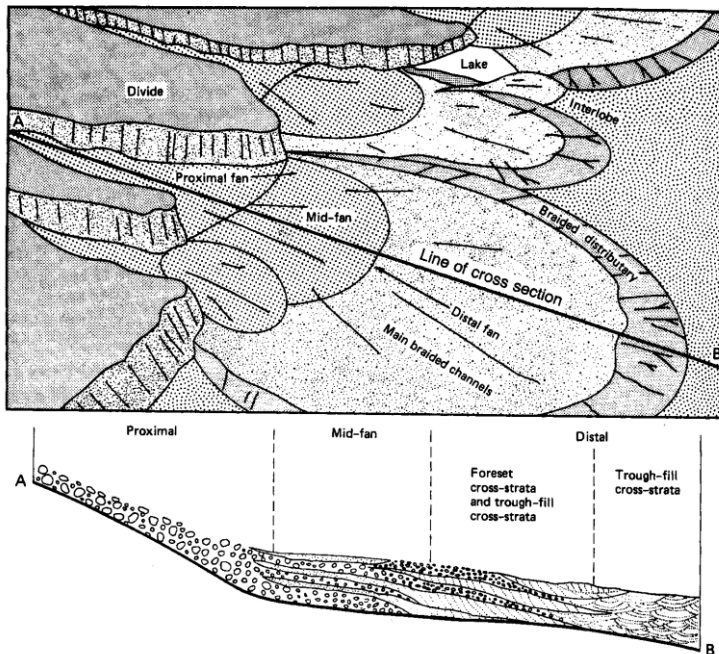
The Mattertal, a valley in the Alps, Switzerland. On the western slope a large alluvial fan, deposited by a landslide in the 1990's, can be seen above the village of Randa. http://commons.wikimedia.org/wiki/File:Randa_landslide.JPG

Leque aluvial



13/09/2016

Mendoza, Argentina. Foto de Eurico Zimbres.



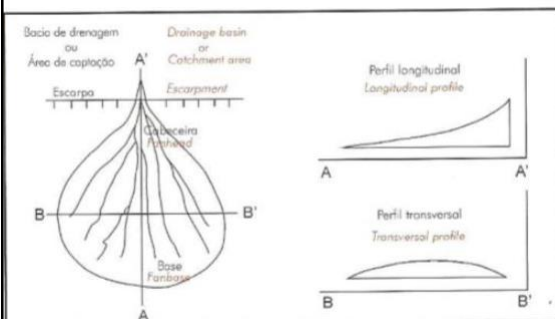
Fonte: Stell and Gløppen (1980).

Características

- Dominados por fluxo gravitacional de sedimento ou enchentes em lençol.
- Agente de transporte de alta densidade e viscosidade.
- Transporte e deposição episódicos.
- Canais fluviais apenas retrabalham sedimentos na superfície do leque.
- Abundantes em bordas de bacias limitadas por falhas.
- Diminuição da granulometria para jusante.
- Composto por vários lobos ativos em tempos diferentes.

Características

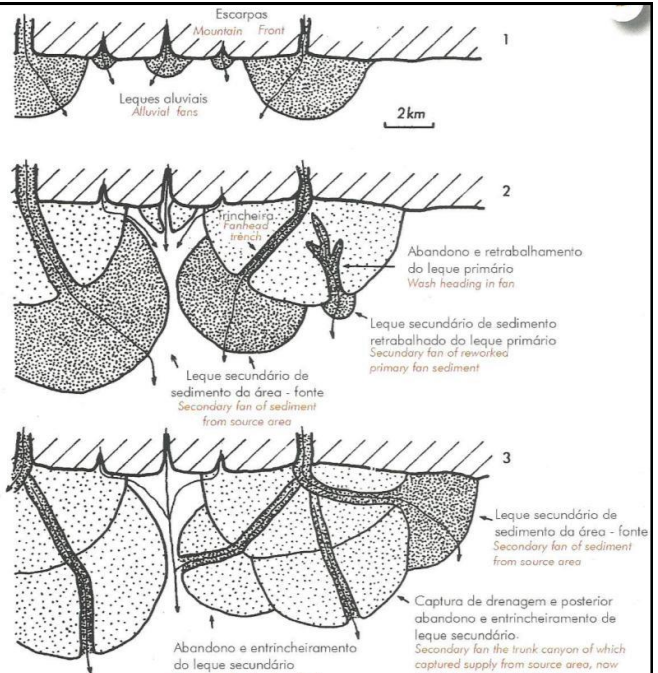
- Seção transversal convexa e longitudinal côncava.



Perfis topográficos em leque aluvial. Fonte: Assine (2008 in Pedreira da Silva et al. 2008)

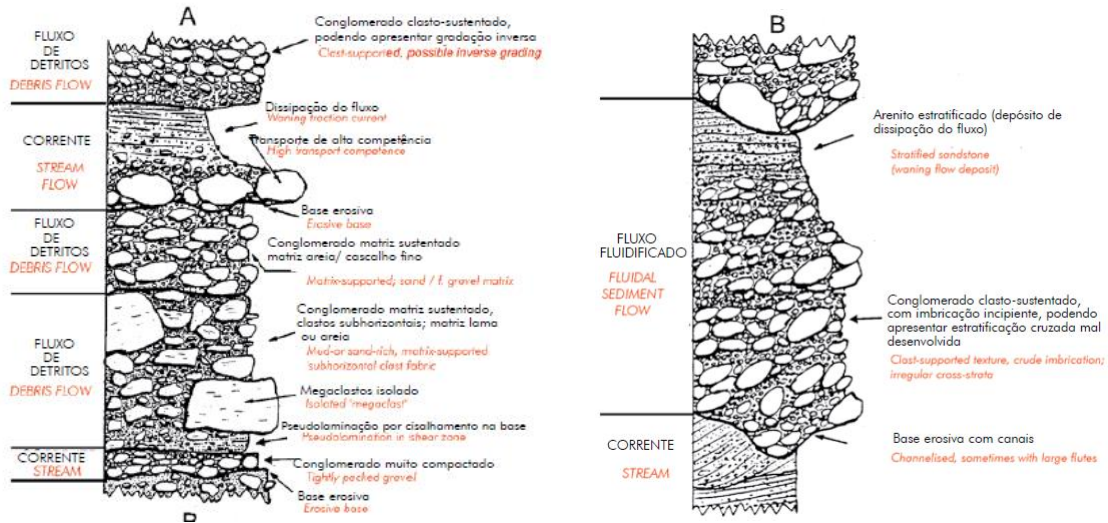
- Composto por vários lobos ativos em tempos diferentes.

13/09/2016



Entrenchamento e formação de leques secundários. Fonte: Assine (2008 in Pedreira da Silva et al. 2008 com base em Denny 1967).

Fácies proximais de leque aluvial



Fácies características das porções proximais de leques dominados por fluxos de gravidade (modificado de Nemec & Steel, 1984).

Fácies características das porções proximais de leques dominados por fluxos de gravidade (modificado de Nemec & Steel, 1984).

Variação longitudinal de fácies de leque aluvial

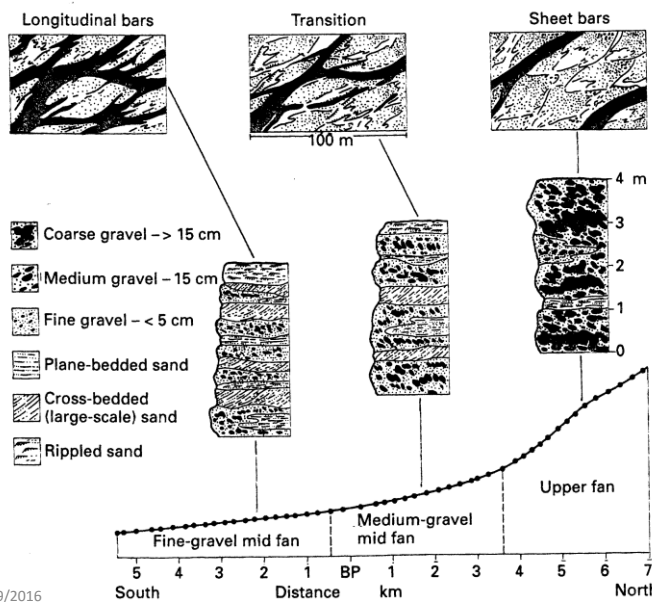
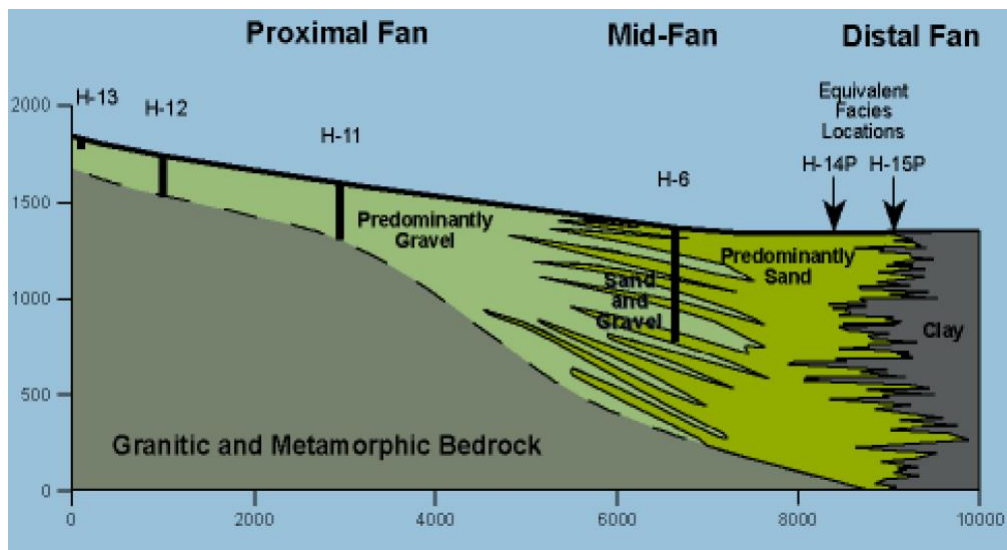


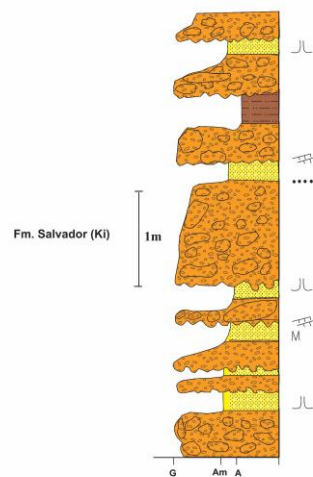
Figure 3.31 Changes in gradient, bar type and internal structure along a fluvial braided outwash fan in front of the Scott Glacier, Alaska (after Boothroyd, 1972).

Associação de fácies de leque aluvial. Fonte: Boothroyd & Nummendal (1978).

Leque aluvial



13/09/2016



Ciclos de conglomerados polimíticos compostos por matações, calhaus e seixos de granitos, gnaisses e quartzitos inseridos numa matriz de areia grossa. Corpos de arenitos segregados exibem laminações cavalgantes, fluidização e carpetes de tração.

Conglomerado da Formação Salvador associado ao sistema de falhas da borda do rifte. Fonte: Magnavita et al. (2005 Fig. 29).

Leque aluvial

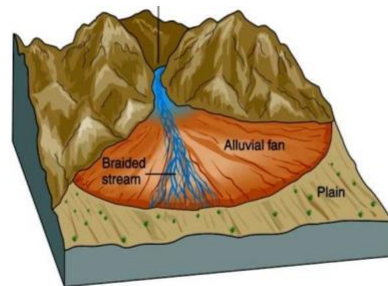


Facies brecha de matação isotrópica

Deposito de fluxo de detritos contendo blocos nétricos de rochas do embasamento na porção proximal de leque aluvial.

Formação Resende (Oligoceno), junto a borda norte da Bacia de Resende, Estado do Rio de Janeiro.

Foto: C. Riccomini. Fonte: Teixeira et al. (2000, fig. 10.23)



Fonte: Little (2014). Disponível em:
<http://pt.slideshare.net/wwlittle/alluvial-fan-systems>



Facies conglomerado e fácies arenito lamoso grosso a conglomérático.

Intercalação de depósitos de fluxo de detritos (com blocos de rochas alcalinas) e de corrida de lamais no sopé do maciço alcalino de Itatiaia (RJ) de leque aluvial da Formação Resende (Oligoceno). Foto: C. Riccomini. Fonte: Teixeira et al. (2000, fig. 10.24).

13/09/2016